



Laboratorium EMVO Sp. J. Urbański, Pawełak  
ul. Jasna 1  
00-013 Warszawa

tel. +48 22 780 29 64

e-mail: laboratorium@emvo.pl



AB 1630

## Sprawozdanie z pomiarów pól elektromagnetycznych - środowisko ogólne nr 5/11/OŚ/2020– P4-W



Nr i nazwa stacji	BIA1114	
Adres	Białystok, ul. Czesława Miłosza 2, woj. podlaskie	
Opracowanie	Martyna Karczmarczyk	Specjalista ds. pomiarów
Autoryzacja	Andrzej Urbański	Kierownik Laboratorium
Podpis		
Data	2020-11-03	

## Spis treści

1. Informacje ogólne.....	3
2. Podstawa prawna. ....	3
3. Opis pomiarów.....	3
4. Zróżnicowanie dopuszczalne poziomy pól elektromagnetycznych. ....	5
5. Charakterystyka źródeł PEM.....	5
6. Wyniki pomiarów.....	5
7. Stwierdzenie zgodności .....	7
8. Oświadczenie. ....	7
9. Spis załączników. ....	7

## 1. Informacje ogólne.

Zleceniodawca	<b>P4 sp. z o.o.,</b> ul. Taśmowa 7, 02-677 Warszawa osoba udzielająca informacji- Monika Jankowska
Istotne informacje dostarczone przez klienta	komplet informacji niezbędnych do wykonania pomiarów i opracowania sprawozdania
Dane otrzymane od klienta mogące mieć wpływ na ważność wyników	Dane anten sektorowych, dane anten radioliniowych, parametry pracy instalacji, poprawka pomiarowa, ustawienie pochylenia anten
Prowadzący instalację	P4 sp. z o.o., ul. Taśmowa 7, 02-677 Warszawa
Lokalizacja obiektu	Białystok, ul. Czesława Miłosza 2, woj. podlaskie
Miejsce instalacji anten	Dach budynku
Miejsce instalacji urządzeń	outdoor
Osoby wykonujące pomiar	Łukasz Biczuk
Data wykonania pomiaru	03.11.2020
Temperatura na początku pomiaru [°C]	11,5
Temperatura na koniec pomiaru [°C]	12,0
Warunki atmosferyczne	Brak opadów
Wilgotność na początku pomiaru [%]	55,0
Wilgotność na koniec pomiaru [%]	52,0
Inne źródła pól elektromagnetycznych oznaczone na załączniku graficznym	Występują
Parametry pracy instalacji	Rzeczywisty

## 2. Podstawa prawna.

### 2.1 Normy i rozporządzenia:

- Rozporządzeniem Ministra Klimatu z dnia 17 lutego 2020 r. w sprawie sposobów sprawdzania dotrzymania dopuszczalnych poziomów pól elektromagnetycznych w środowisku (Dz.U. 2020 poz. 258)
- Rozporządzenie Ministra Zdrowia z dnia 17 grudnia 2019 r. w sprawie dopuszczalnych poziomów pól elektromagnetycznych w środowisku (Dz.U. 2019 poz. 2448)
- Obwieszczenie Marszałka Sejmu Rzeczypospolitej Polskiej z dnia 19 lipca 2019 r. w sprawie ogłoszenia jednolitego tekstu ustawy - Prawo ochrony środowiska (Dz.U. 2019 poz. 1396).

## 3. Opis pomiarów

Metodologia pomiarowa

Pomiary w oparciu o Rozporządzeniem Ministra Klimatu z dnia 17 lutego 2020 r. w sprawie sposobów sprawdzania dotrzymania dopuszczalnych poziomów pól elektromagnetycznych w środowisku (Dz.U. 2020 poz. 258).

Cel badań	Określenie wartości natężenia pola elektrycznego w miejscach dostępnych dla ludności.
Opis zestawu pomiarowego	Miernik Narda NBM 520, Sonda EF 9091, o zakresie pomiarowym 0,8 V/m – 300V/m pracująca w paśmie 80 MHz – 90 GHz, świadectwo wydane przez Laboratorium Wzorców i Metrologii Pola Elektromagnetycznego, Instytut Telekomunikacji, Teleinformatyki i Akustyki Politechniki Wrocławskiej, numer świadectwa: LWIMP/W/092/19, świadectwo ważne do 15.03.2021r. Miernik Narda NBM 520, Sonda EF 9091 pracująca w zakresie temperatury -10°C - +50°C oraz wilgotności 5% - 95%. Niepewność rozszerzona 58,8% przy poziomie ufności 95% z uwzględnieniem współczynnika rozszerzenia k=2.
Wypożyczenie pomocnicze	Termohigrometr Bestone, typ: GM1362-EN-00, nr identyfikacyjny 1222436, świadectwo wzorcowania z dn. 03.04.2017r. wydane przez Laboratorium Pomiarowe "MUTECH". Przymiar wstępowy STABILA, nr seryjny 10721, świadectwo wzorcowania z dn. 19.06.2017r. wydane przez Zespół Laboratoriów wzorcujących Okręgowego Urzędu Miar w Gdańsku. GPS Garmin 64s okresowo sprawdzany w punktach osnowy geodezyjnej klasy 3 na podstawie licencji punktu, zgodnie z procedurą sprawdzeń okresowych IS/PO-16-11/03.
Pomiary zostały wykonane	<ol style="list-style-type: none"> <li>1. na głównych i pomocniczych kierunkach pomiarowych, na kierunkach zbliżonych do azymutów anten oraz w dodatkowych pionach pomiarowych zgodnie z wymaganiami pkt 12, 13, 14 i 19 załącznika do rozporządzenia Ministra Klimatu z dnia 17 lutego 2020 r. (Dz. U. 2020, poz. 258),</li> <li>2. na obszarze pomiarowym, dla którego, na podstawie uprzednio wykonanych obliczeń uzyskanych od zleceniodawcy, stwierdzono możliwość występowania pól elektromagnetycznych o poziomach zbliżonych do poziomów dopuszczalnych zgodnie z wymaganiami pkt 5 ppkt 2 oraz pkt 13 ppkt 1 załącznika do rozporządzenia Ministra Klimatu z dnia 17 lutego 2020 r. (Dz. U. 2020, poz. 258). Wyniki obliczeń nie uwzględniały parametrów pracy instalacji innych operatorów występujących na obiekcie bądź w obszarze pomiarowym.</li> <li>3. w miejscach dostępnych dla ludności.</li> <li>4. miejsca niedostępne podczas wykonywania pomiarów wskazane zostały w pkt 6 (tabeli wyniki pomiarów)</li> <li>5. wyniki pomiarów uzyskane zostały przy uwzględnieniu poprawek pomiarowych przekazanych przez zleceniodawcę oraz przy rzeczywistych warunkach pracy instalacji innych operatorów (w przypadku występowania). W takiej sytuacji uwzględniono jednolitą poprawkę pomiarową wynoszącą 2,0.</li> </ol>
Szczególne warunki podczas wykonywania pomiarów	Pomiary wykonane zostały podczas obowiązywania w kraju stanu epidemii, zgodnie z art. 122a ust. 1b Ustawy z dnia 27 kwietnia 2001 r. – Prawo ochrony środowiska (Dz. U. z 2019 r. poz. 1396, z późn. zm.9))
Warunki pracy urządzeń nadawczych	Podczas pomiarów zostały uwzględnione poprawki pomiarowe przekazane przez zleceniodawcę, umożliwiające uwzględnienie maksymalnych parametrów pracy instalacji zgodnie z pkt 7 załącznika do Rozporządzenia Ministra Klimatu z dnia 17 lutego 2020 r. w sprawie sposobów sprawdzania dotrzymania dopuszczalnych poziomów pól elektromagnetycznych w środowisku (Dz. U. 2020, poz. 258).

#### 4. Zróźnicowanie dopuszczalne poziomy pól elektromagnetycznych.

Zakresy znajdują się w Dzienniku Ustaw z dnia 17 grudnia 2019 r. przedstawione są w tabeli nr 2 (Dz. U. z 2019r. poz. 2448).

Parametr fizyczny Zakres Częstotliwości pola elektromagnetycznego	Składowa elektryczna E (V/m)	Składowa magnetyczna H (A/m)	Gęstość mocy S (W/m <sup>2</sup> )
od 400 MHz do 2000 MHz	$1,375 \times f^{0,5}$	$0,0037 \times f^{0,5}$	$f / 200$
od 2 GHz do 300 GHz	61	0,16	10

#### 5. Charakterystyka źródeł PEM.

Zgodnie z informacją otrzymaną od Klienta pomiary zostały wykonane przy ustawieniach pochylenia anten zgodnych z pkt. 13, ppkt 2 załącznika do rozporządzenia Ministra Klimatu z dnia 17 lutego 2020 roku.

Tabela 1. Anteny sektorowe - dane otrzymane od klienta

Charakterystyka promieniowania		kierunkowa														
Rzeczywisty czas pracy [h/dobę]		24														
Rodzaj wytwarzanego pola		stacjonarne														
Lp	Wyszczególnienie	sektor 1					sektor 2					sektor 3				
I	Nadajnik stacji bazowej:															
1	Typ / Producent	DBS / Huawei														
2	Częstotliwość (pasmo) MHz	2600	800	2100	1800	900	2600	800	2100	1800	900	2600	800	2100	1800	900
3	Maksymalna moc nadawana na sektor [dBm]	51,46	43,01	47,78	49,03	43,01	52,04	43,01	47,78	49,03	43,01	52,04	43,01	47,78	49,03	43,01
II	Obciążenie:															
1	Typ anteny	Huawei ATR4518R6		Huawei ATR4518R6			Huawei ATR4518R6		Huawei ATR4518R6			Huawei ATR4518R6		Huawei ATR4518R6		
2	Producent anteny	Huawei		Huawei			Huawei		Huawei			Huawei		Huawei		
3	Ilość anten	1		1			1		1			1		1		
4	Azymut	0					120					240				
5	Zakres kątów pochylenia anten [°]	0,00-10,00					0,00-10,00					0,00-10,00				
6	Wysokość zainst. n.p.t. [m]	26,50					26,50					26,50				
7	EIRP [W]	9737		8304			11014		8304			11014		8304		

Tabela 2. Anteny radioliniowe- dane otrzymane od klienta

Charakterystyka promieniowania				kierunkowa			
Rzeczywisty czas pracy [h/dobę]				24			
Rodzaj wytwarzanego pola				stacjonarne			
Linia radiowa				Antena			
Lp	typ/producent	częstotliwość pracy [GHz]	moc wyjściowa [dBm]	typ/producent	średnica anteny [m]	azymut [°]	wysokość zainstal. [m]
1	OPTIX RTN/HUAWEI	80	18	VHLP1-80/Andrew	0,3	181	26,60

## 6. Wyniki pomiarów.

Wyniki pomiarów pól elektromagnetycznych dla celów ochrony środowiska przedstawia poniższa tabela. Piony pomiarowe zostały przedstawione w zał. 2.

Nr PP	Pole-E [V/m]	Pole-E *kE, +U [V/m]	Pole-H [A/m]	Pole-H *kE +U [A/m]	Wys. pomiaru [m]	Opis pionu	Uwagi	WM <sub>E</sub>	WM <sub>H</sub>
1	<0,8*	<2,54	<0,002	<0,007	0,3-2,0	N:53°07'24.47" E:23°10'38.95"	otoczenie stacji bazowej - 175m wzdłuż gł. osi promieniowania - GKP	<0,065	<0,064
2	<0,8*	<2,54	<0,002	<0,007	0,3-2,0	N:53°07'25.95" E:23°10'38.98"	otoczenie stacji bazowej - 225m wzdłuż gł. osi promieniowania - GKP	<0,065	<0,064
3	<0,8*	<2,54	<0,002	<0,007	0,3-2,0	N:53°07'26.94" E:23°10'38.99"	otoczenie stacji bazowej - 250m wzdłuż gł. osi promieniowania - GKP	<0,065	<0,064
4	1,2	3,81	0,003	0,010	1,1	N:53°07'17.55" E:23°10'40.75"	otoczenie stacji bazowej - 50m wzdłuż gł. osi promieniowania - GKP	0,098	0,097
5	0,8	2,54	0,002	0,007	1,0	N:53°07'16.91" E:23°10'43.00"	otoczenie stacji bazowej - 100m wzdłuż gł. osi promieniowania - GKP	0,065	0,064
6	0,9	2,86	0,002	0,008	1,0	N:53°07'16.11" E:23°10'45.26"	otoczenie stacji bazowej - 150m wzdłuż gł. osi promieniowania - GKP	0,073	0,072
7	0,8	2,54	0,002	0,007	0,8	N:53°07'14.50" E:23°10'49.89"	otoczenie stacji bazowej - 250m wzdłuż gł. osi promieniowania - GKP	0,065	0,064
8	<0,8*	<2,54	<0,002	<0,007	0,3-2,0	N:53°07'17.83" E:23°10'35.88"	otoczenie stacji bazowej - 50m wzdłuż gł. osi promieniowania - GKP	<0,065	<0,064
9	1,1	3,49	0,003	0,009	0,9	N:53°07'14.96" E:23°10'25.69"	otoczenie stacji bazowej – 250m wzdłuż gł. osi promieniowania - GKP	0,090	0,089
10	1,3	4,13	0,003	0,011	1,4	N:53°07'16.94" E:23°10'38.07"	otoczenie stacji bazowej - 50m wzdłuż gł. osi promieniowania - GKP	0,106	0,105
11	<0,8*	<2,54	<0,002	<0,007	0,3-2,0	N:53°07'25.58" E:23°10'40.74"	otoczenie stacji bazowej - GKP	<0,065	<0,064
12	<0,8*	<2,54	<0,002	<0,007	0,3-2,0	N:53°07'18.64" E:23°10'42.43"	otoczenie stacji bazowej - GKP	<0,065	<0,064
13	0,9	2,86	0,002	0,008	1,1	N:53°07'17.16" E:23°10'44.48"	otoczenie stacji bazowej - GKP	0,073	0,072
14	1,2	3,81	0,003	0,010	1,1	N:53°07'16.92" E:23°10'40.58"	otoczenie stacji bazowej - GKP	0,098	0,097
15	1,4	4,45	0,004	0,012	0,8	N:53°07'17.57" E:23°10'36.85"	otoczenie stacji bazowej - GKP	0,114	0,113
16	<0,8*	<2,54	<0,002	<0,007	0,3-2,0	N:53°07'19.09" E:23°10'34.01"	otoczenie stacji bazowej - GKP	<0,065	<0,064
17	<0,8*	<2,54	<0,002	<0,007	0,3-2,0	N:53°07'24.77" E:23°10'37.69"	otoczenie stacji bazowej - GKP	<0,065	<0,064
A	<0,8*	<2,54	<0,002	<0,007	0,3-2,0	Augustowska 6/2, pomiar przed bramą -DPP		<0,065	<0,064
B	<0,8*	<2,54	<0,002	<0,007	0,3-2,0	Augustowska 6/1, pomiar przed bramą -DPP		<0,065	<0,064
C	<0,8*	<2,54	<0,002	<0,007	0,3-2,0	Augustowska 15a, pomiar przed bramą -DPP		<0,065	<0,064
D	<0,8*	<2,54	<0,002	<0,007	0,3-2,0	Augustowska 21, pomiar przed bramą -DPP		<0,065	<0,064
E	<0,8*	<2,54	<0,002	<0,007	0,3-2,0	Marii Konopnickiej 12B, pomiar przed bramą -DPP		<0,065	<0,064
F	<0,8*	<2,54	<0,002	<0,007	0,3-2,0	Budynek gospodarczy, pomiar przed bramą -DPP		<0,065	<0,064
G	<0,8*	<2,54	<0,002	<0,007	0,3-2,0	Czesława Miłosza 2, pomiar przed budynkiem -DPP		<0,065	<0,064
H	1,2	3,81	0,003	0,010	1,2	Drewniana 16/1, pomiar przed bramą -DPP		0,098	0,097
I	0,8	2,54	0,002	0,007	1,5	Folwarczna 2, pomiar przed bramą -DPP		0,065	0,064
J	<0,8*	<2,54	<0,002	<0,007	0,3-2,0	Folwarczna 4, pomiar przed bramą -DPP		<0,065	<0,064
K	0,8	2,54	0,002	0,007	1,3	Folwarczna 6, pomiar przed bramą -DPP		0,065	0,064
L	0,9	2,86	0,002	0,008	1,2	Folwarczna 8, pomiar przed bramą -DPP		0,073	0,072
M	<0,8*	<2,54	<0,002	<0,007	0,3-2,0	Folwarczna 10, pomiar przed bramą -DPP		<0,065	<0,064
N	<0,8*	<2,54	<0,002	<0,007	0,3-2,0	Folwarczna 12, pomiar przed bramą -DPP		<0,065	<0,064
O	0,9	2,86	0,002	0,008	1,5	Dojlidzka 3, pomiar przed bramą -DPP		0,073	0,072
P	-					Brak dostępu – zbiorniki wodne		-	

„Bez pisemnej zgody Laboratorium niniejsze sprawozdanie nie może być powielane inaczej, jak tylko w całości. Ponadto wyniki dotyczą tylko badanych obiektów przywołanych w niniejszym sprawozdaniu z badań”

\* poniżej czułości zestawu pomiarowego

GKP - główne kierunki pomiarowe

PKP - pomocnicze kierunki pomiarowe

DPP- dodatkowe punkty pomiarowe

PP – pion pomiarowy

U - niepewność pomiarowa rozszerzona, przy poziomie ufności 95%, z uwzględnieniem współczynnika rozszerzenia  $k=2$

$k_E$  – poprawka pomiarowa badanej instalacji radiokomunikacyjnej podana przez operatora ( $k_E=1,65$ ), poprawka pomiarowa w przypadku oddziaływania innych instalacji radiokomunikacyjnych na badany obszar ( $k_E=2,0$ )

$WM_E$  - wartość wskaźnikowa poziomu emisji pól elektromagnetycznych dla miejsc dostępnych dla ludności dla składowej elektrycznej pola

$WM_H$  - wartość wskaźnikowa poziomu emisji pól elektromagnetycznych dla miejsc dostępnych dla ludności dla składowej magnetycznej pola

Przyjęto najniższą dopuszczalną wartość składowej elektrycznej pola dla objętego pomiarami zakresu częstotliwości  $\min(ME_{gr}) = 38,89 \text{ V/m}$  oraz składowej magnetycznej  $\min(MH_{gr}) = 0,105 \text{ A/m}$ .

## 7. Stwierdzenie zgodności

Na podstawie wytycznych podanych w Rozporządzeniu Ministra Zdrowia z dnia 17 grudnia 2019 r. w sprawie dopuszczalnych poziomów pól elektromagnetycznych w środowisku (Dz.U. 2019 poz. 2448) oraz sposobów sprawdzania dotrzymania tych poziomów zgodnie z Rozporządzeniem Ministra Klimatu z dnia 17 lutego 2020 r. w sprawie sposobów sprawdzania dotrzymania dopuszczalnych poziomów pól elektromagnetycznych w środowisku (Dz.U. 2020 poz. 258) dotyczących źródła wymagań, które muszą być spełnione (załącznik do rozporządzenia Ministra Klimatu z dnia 17 lutego 2020 r. (poz. 258)), w oparciu o zasadę podejmowania decyzji zgodną z pkt 26 załącznika do rozporządzenia Ministra Klimatu z dnia 17 lutego 2020 r. (poz. 258), na podstawie wyników pomiarów pól elektromagnetycznych wykonanych w dniu 03.11.2020 stwierdzono, iż w miejscach dostępnych dla ludności, dopuszczalne poziomy pól elektromagnetycznych w środowisku, określone w przepisach wydanych na podstawie art. 122 ust. 1 ustawy z dnia 27 kwietnia 2001 r. – Prawo ochrony środowiska, uznaje się za dotrzymane w obszarze pomiarowym, w którym w wyniku zastosowania sposobu sprawdzenia dotrzymania dopuszczalnych poziomów pól elektromagnetycznych w środowisku, udokumentowano, że żadna z wartości wskaźnikowych nie przekracza wartości 1.

## 8. Oświadczenie.

Wyniki badania odnoszą się wyłącznie do badanego obiektu.

Bez pisemnej zgody sprawozdanie nie może być powielane inaczej, jak tylko w całości.

Uwagi i zastrzeżenia przyjmowane są w formie pisemnej w ciągu 14 dni od daty otrzymania sprawozdania.

## 9. Spis załączników.

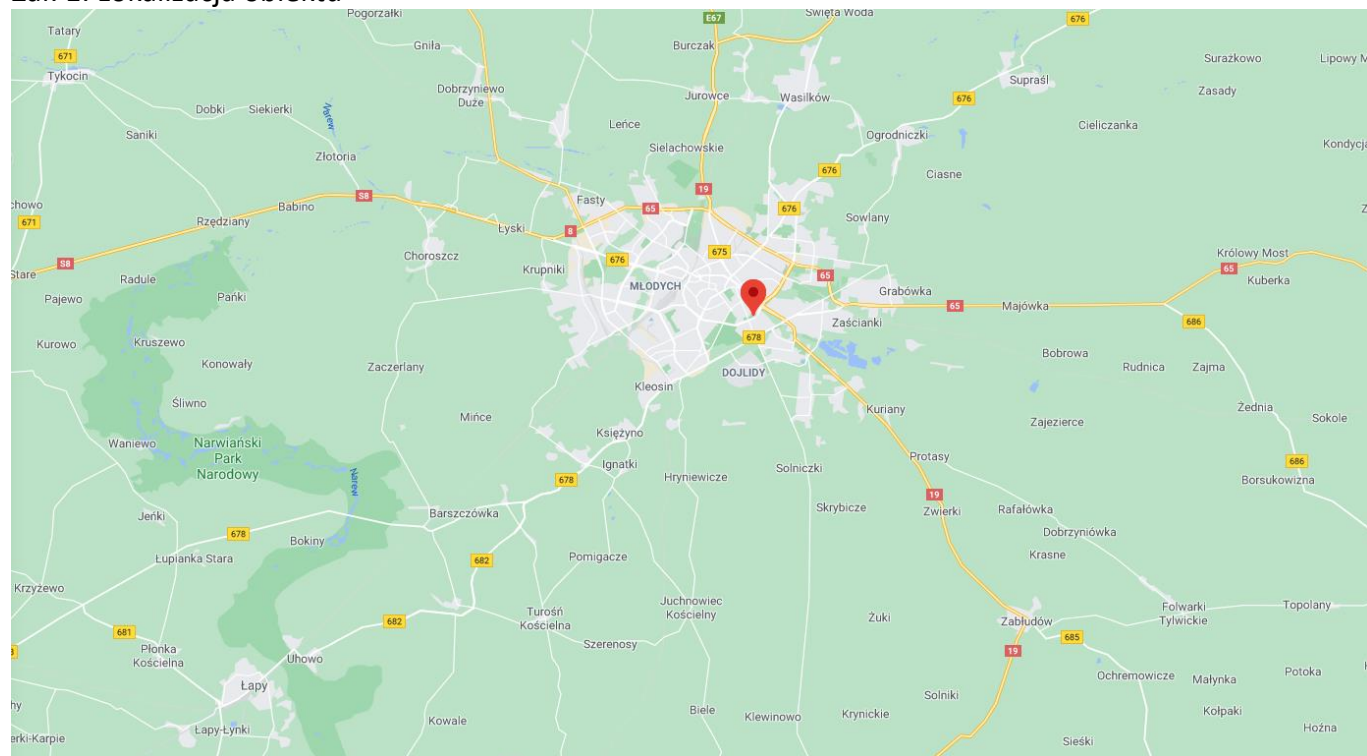
Załącz. 1. Lokalizacja obiektu.

Załącz. 2. Widok pionów pomiarowych

Załącz. 3. Załączniki graficzne

**Koniec sprawozdania**

## Zał. 1. Lokalizacja obiektu



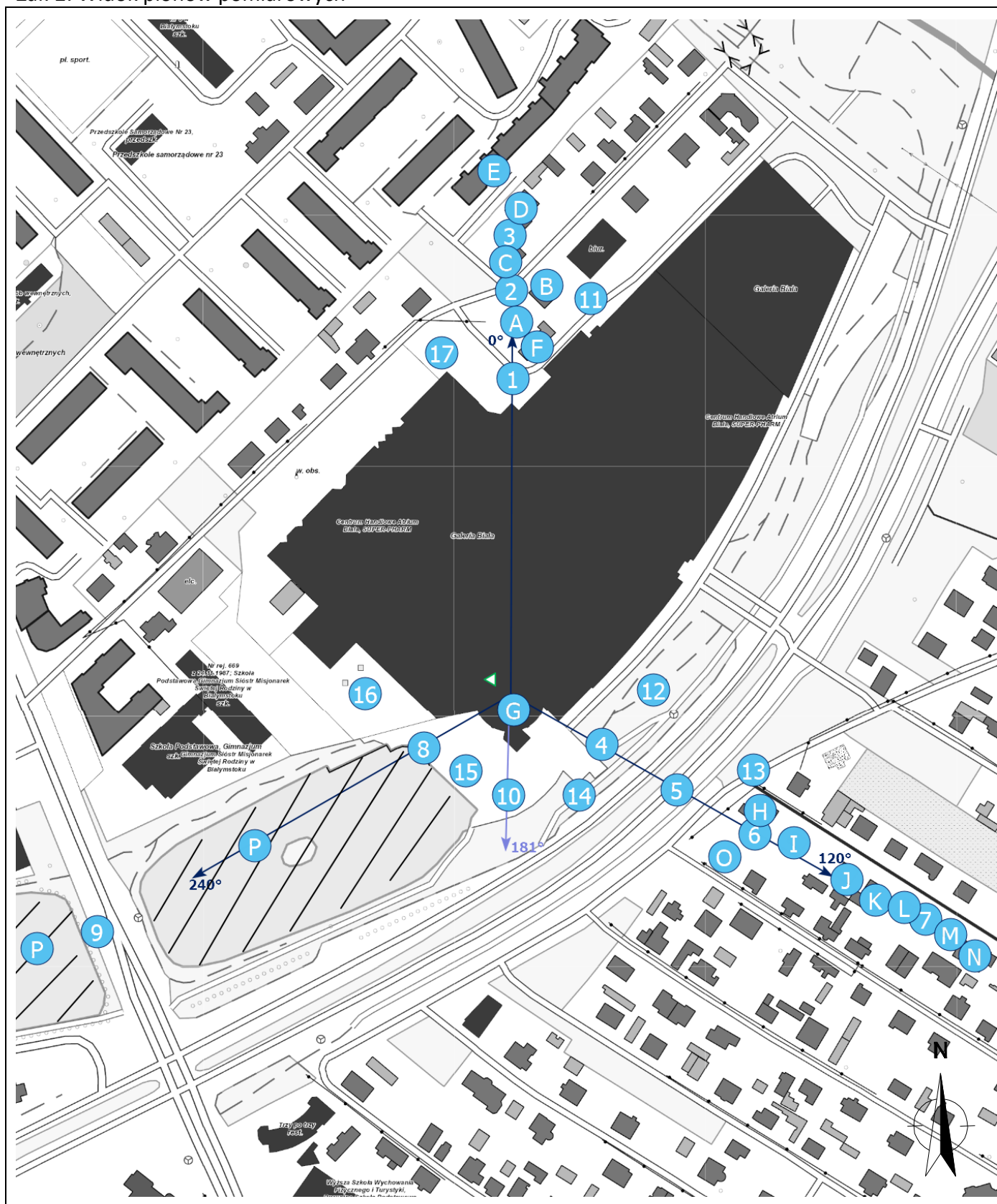
### Współrzędne geograficzne

długość: 23°10'38.23"E

szerokość: 53°07'18.90"N



Załącznik 2. Widok pionów pomiarowych



LEGENDA:

inna instalacja radiokomunikacyjna

Odległość, do której zostały wykonane pomiary mierząc od instalacji antenowej wynosi min.: 265 metrów.

brak dostępu

pion pomiarowy z poprawką pomiarową (brak innych instalacji radiokomunikacyjnych)

pion pomiarowy z poprawką pomiarową (w zasięgu innych instalacji radiokomunikacyjnych)

antena sektorowa

antena radioliniowa

Skala: 1:3500

0 50 100m

„Bez pisemnej zgody Laboratorium niniejsze sprawozdanie nie może być powielane inaczej, jak tylko w całości. Ponadto wyniki dotyczą tylko badanych obiektów przywołanych w niniejszym sprawozdaniu z badań”

5/11/OŚ/2020– P4-W

Strona 9 z 10

### Załącz. 3. Załączniki graficzne.

